## Mécanique analytique — corrigé 10

Assistants: hugo.chkroun@epfl.ch, brenno.delucca@epfl.ch, garance.durr-legoupil-nicoud@epfl.ch fanny.eustachon@epfl.ch, solange.flatt@epfl.ch, shiling.liang@epfl.ch adelaide.mohr@epfl.ch, alexandra.shelest@epfl.ch, adrian.woyke@epfl.ch

## Exercice 1: Exercice complet

- a) Le hamiltonien a dimension d'énergie, soit  $M L^2 T^{-2}$ . L'impulsion est donc en  $M L T^{-1}$ . La position étant en L, on trouve que  $[\lambda] = T^{-1}$ .
- b) On veut  $T = \frac{1}{2}P^2$ , pour ce faire on complète le carré dans le hamiltonien de base :

$$\frac{p^2}{2m} + \lambda pq = \frac{1}{2} \left( \frac{p}{\sqrt{m}} + \lambda \sqrt{m}q \right)^2 - \frac{m\lambda^2}{2} q^2 \tag{1}$$

et donc:

$$P = \frac{p}{\sqrt{m}} + \lambda \sqrt{m}q$$
 (2)

c) La transformation est assez simple, on peut donc essayer de trouver la nouvelle coordonnée à la main. Cherchons une nouvelle coordonnée qui ne dépende que de q, afin de ne pas réintroduire de mélange PQ. On peut par exemple tenter avec Q = Nq, où N est une normalisation à fixer.

Utilisons les crochets de Poisson. La seule combinaison non-triviale est quand on prend la partie qui dépend de p dans P:

$$\{Q, P\}_{q,p} = \frac{N}{\sqrt{m}} \{q, p\} = 1 \quad \Rightarrow \quad N = \sqrt{m}$$
 (3)

et donc:

$$Q = \sqrt{mq}$$
 (4)

Le nouvel hamiltonien devient :

$$K(P,Q) = \frac{P^2}{2} - \frac{\lambda^2 Q^2}{2} + V(Q/\sqrt{m})$$
 (5)

Il est, comme demandé, indépendant du temps, et donc K = E est conservé.

**Remarque :** On peut également utiliser une fonction génératrice. Comme on cherche la forme de Q(q,p) on partira sur une fonction de type  $F_2$  ou  $F_4$ . La transformation de type  $F_2$  donne directement la solution ci-dessus. Pour une transformation de type  $F_4$ :

$$q = \frac{P}{\lambda\sqrt{m}} - \frac{p}{\lambda m} = -\frac{\partial F_4}{\partial p} \tag{6}$$

d'où

$$F_4 = \frac{p^2}{2\lambda m} - \frac{pP}{\lambda\sqrt{m}} + f(P) \tag{7}$$

où f est une fonction arbitraire de P, puis

$$Q = \frac{\partial F_4}{\partial P} = -\frac{p}{\lambda\sqrt{m}} + f'(P) \tag{8}$$

Mais nous voulons que Q ne dépende que de q pour ne pas réintroduire de couplage P,Q. Comme  $P = \frac{p}{\sqrt{m}} + \lambda \sqrt{m}q$ , un choix simple est f tel que  $f'(P) = \frac{1}{\lambda}P$  soit  $f(P) = \frac{1}{2\lambda}P^2$ . On a finalement :

$$Q = \frac{\partial F_4}{\partial P} = -\frac{p}{\lambda \sqrt{m}} + \frac{1}{\lambda} P = \sqrt{m}q \tag{9}$$

comme ci-dessus.

**Remarque 2:** On peut se demander pourquoi on ne fait pas la transformation

$$\frac{P^2}{2} = \frac{p^2}{2m} + \lambda pq \tag{10}$$

à la place de compléter le carré. Cette transformation est beaucoup plus complexe (non linéaire) et il est impossible (ou très difficile) de construire une transformation canonique où Q ne dépend que de q.

- d) Pour un système avec un potentiel W(Q) on peut avoir les cas suivants :
  - i.  $\lim_{Q\to\pm\infty}W(Q)=+\infty$ : le système restera toujours dans une région finie de l'espace qui sera bornée par les points satisfaisant W(Q)=E.
  - ii.  $\lim_{Q\to\pm\infty}W(Q)=-\infty$ : le système sera instable au moins vers les bords. Mais il se peut qu'on trouve une région stable à l'intérieur.
  - iii.  $\lim_{Q \to \pm \infty} W(Q) = C_{\pm}$ : il y a deux régimes. Si  $E < \min(C_{\pm})$ , alors le système restera enfermé quelque part entre les points W(Q) = E. Dans le cas contraire, il va se passer quelque chose pour Q fini, mais asymptotiquement le système devient libre. Pour  $E = \min(C_{\pm})$  le système va s'arrêter à l'infini.
  - iv. On trouve évidemment aussi toute les combinaisons des cas ci-dessus.

Donc dans notre cas ce sont les limites  $\lim_{Q\to\pm\infty}V(Q/\sqrt{m})-\frac{\lambda^2}{2}Q^2$  qui vont déterminer le régime dans lequel on peut se trouver.

e) Le potentiel devient :

$$W(Q) = \frac{1}{2} \underbrace{\left(\frac{\kappa}{m} - \lambda^2\right)}_{\mathcal{E}} Q^2 \tag{11}$$

i. Les équations de Hamilton sont dans ce cas :

$$\begin{cases} \dot{p} = -\kappa q - \lambda p \\ \dot{q} = \frac{p}{m} + \lambda q \end{cases}$$
 (12)

- ii. Si  $\xi < 0$ , alors le système est instable, alors que pour  $\xi > 0$  il est stable et va se déplacer entre les points  $\bar{Q}_{\pm} = \pm \sqrt{\frac{2E}{\xi}}$ .
- iii. De façon générique les équations de Hamilton sont :

$$\begin{cases} \dot{P} = -W'(Q) \\ \dot{Q} = P \end{cases} \tag{13}$$

Mais on peut intégrer une de ces équations en utilisant la conservation de l'énergie qui implique :

$$\frac{P^2}{2} + W(Q) = E \quad \Rightarrow \quad P = \eta \sqrt{2[E - W(Q)]}, \quad \eta = \operatorname{sign}(P) = \pm 1 \tag{14}$$

En insérant cette information dans la seconde équation et en séparant les variables on obtient  $(\eta^2 = 1)$ :

$$dt = \frac{\eta \, dQ}{\sqrt{2E - 2W(Q)}}$$
(15)

Dans notre cas:

$$dt = \frac{\eta \, dQ}{\sqrt{2E - \xi Q^2}} \tag{16}$$

On commence par travailler un peu l'expression pour avoir une forme simple.

Pour E > 0, on a

$$dt = \frac{\eta}{\sqrt{2E}} \frac{dQ}{\sqrt{1 - \frac{\xi}{2E}Q^2}} = \frac{\eta}{\sqrt{|\xi|}} \frac{d\tilde{Q}}{\sqrt{1 \mp \tilde{Q}^2}}$$
(17)

avec le signe  $\mp=-{\rm sign}(\xi),$  et  $\tilde{Q}=\sqrt{\frac{|\xi|}{2E}}Q.$  A présent il faut différencier les cas :

—  $\xi > 0$  : l'intégrale ci-dessus donne  $\arcsin(\tilde{Q})$  et donc :

$$\begin{cases}
Q(t) = \sqrt{\frac{2E}{\xi}} \sin\left[\sqrt{\xi}(t - t_0) + \phi_0\right] \\
P(t) = \sqrt{2E} \cos\left[\sqrt{\xi}(t - t_0) + \phi_0\right]
\end{cases}$$
(18)

où  $\phi_0 \in ]-\pi,\pi]$  est choisi de sorte à ce que  $\sin(\phi_0) = Q(0)\sqrt{\xi/(2E)}$  et  $\cos(\phi_0) = P(0)/\sqrt{2E}$ . On reste effectivement dans une région finie de l'espace.

—  $\xi < 0$  : l'intégrale ci-dessus donne  $\arcsinh(\tilde{Q})$  et donc :

$$\begin{cases}
Q(t) = \sqrt{-\frac{2E}{\xi}} \sinh \left[ \eta_P \sqrt{-\xi} (t - t_0) + \phi_0 \right] \\
P(t) = \eta_P \sqrt{2E} \cosh \left[ \eta_P \sqrt{-\xi} (t - t_0) + \phi_0 \right]
\end{cases}$$
(19)

où  $\phi_0 = \operatorname{arcsinh}(Q(0)\sqrt{-\xi/(2E)})$  et  $\eta_P = \operatorname{sign}(P(0))$ . Le système, s'il est mis en mouvement (E > 0 pour Q(0) = 0), s'écartera exponentiellement vite de la région centrale.

—  $\xi = 0$ : cas trivial dans lequel on obtient

$$\begin{cases}
Q(t) = \eta_P \sqrt{2E}(t - t_0) + Q(0) \\
P(t) = \eta_P \sqrt{2E}
\end{cases}$$
(20)

où  $\eta_P = \text{sign}(P(0))$ . Le système suit une évolution libre.

Pour E < 0, seul le cas de figure  $\xi < 0$  est possible, puisque  $E = P^2/2 + \xi Q^2/2$ . On écrit alors

$$dt = \frac{\eta}{\sqrt{-2E}} \frac{dQ}{\sqrt{\frac{\xi}{2E}Q^2 - 1}} = \frac{\eta}{\sqrt{-\xi}} \frac{d\tilde{Q}}{\sqrt{\tilde{Q}^2 - 1}}$$
(21)

avec  $\tilde{Q} = \sqrt{\xi/(2E)}Q$ , et l'intégration conduit à

$$\begin{cases}
Q(t) = \eta_Q \sqrt{\frac{2E}{\xi}} \cosh \left[ \eta_Q \eta_P \sqrt{-\xi} (t - t_0) + \phi_0 \right] \\
P(t) = \eta_P \sqrt{-2E} \sinh \left[ \eta_Q \eta_P \sqrt{-\xi} (t - t_0) + \phi_0 \right]
\end{cases}$$
(22)

où  $\eta_Q = \text{sign}(Q(0))$ ,  $\eta_P = \text{sign}(P(0))$  et  $\phi_0 = \operatorname{arccosh}\left(|Q(0)|\sqrt{\xi/(2E)}\right)$ . Comme précédemment pour  $\xi < 0$ , le système s'écarte exponentiellement de la région initiale/centrale. Pour E = 0, on peut avoir  $\xi = 0$ , et alors P = 0 et Q = Q(0), ou alors  $\xi < 0$ . Dans ce dernier cas, on trouve

$$dt = \frac{\eta}{\sqrt{-\xi}} \frac{dQ}{|Q|},\tag{23}$$

d'où

$$\begin{cases}
Q(t) = Q(0) \exp \left[ \eta_Q \eta_P \sqrt{-\xi} (t - t_0) \right] \\
P(t) = \eta_P \sqrt{-\xi} Q(0) \exp \left[ \eta_Q \eta_P \sqrt{-\xi} (t - t_0) \right]
\end{cases}$$
(24)

où  $\eta_Q = \text{sign}(Q(0))$  et  $\eta_P = \text{sign}(P(0))$ . On trouve donc encore le même comportement en fonction de la valeur de  $\xi$ .

Remarque 1 : pour illustrer toutes les dynamiques possibles en fonction des conditions initiales, nous avons discuté ici tous les cas de figure possibles pour les signes de E, de Q(0) et de P(0); dans la discussion d'un équilibre, on s'intéresse aux déplacements autour d'un extremum du potentiel; il suffirait ici d'étudier le cas E > W(0) = 0 et, par exemple, Q(0) = 0 et P(0) > 0; les résultats obtenus ci-dessus se transposent directement à ce cas de figure avec  $\phi_0 = 0$  et  $\eta_P = +1$ .

Remarque 2: la discussion (un peu fastidieuse) des signes dans les résultats ci-dessus recouvre une réalité physique simple; dans le cas E>0 et  $\xi<0$ , par exemple, la particule est en présence d'une barrière de potentiel en Q=0, mais son énergie est supérieure à la hauteur de cette barrière de potentiel, ce qui lui permet, le cas échéant, de franchir la barrière; si la position et la vitesse initiales sont de même signe, alors la particule s'écarte simplement de cette barrière jusqu'à l'infini; si par contre la position et la vitesse initiales sont de signes opposés, la particule s'approche du sommet de la barrière, franchit cette dernière et s'en écarte à l'infini de l'autre côté; ceci se traduit par un changement de signe de Q au cours du temps [cf. Eq. (19),  $\operatorname{sign}(\sinh(x)) = \operatorname{sign}(x)$ ];

le signe de P reste au contraire constant  $[\operatorname{sign}(\cosh(x)) > 0]$  et le passage au-dessus de la barrière se traduit simplement une diminution temporaire de l'impulsion  $[\operatorname{minimum} \operatorname{lorsque} \eta_P \sqrt{-\xi}(t-t_0) + \phi_0$  et Q changent de signe]; dans le cas E < 0 et  $\xi < 0$ , la particule n'a pas l'énergie suffisante pour franchir la barrière; quels que soient les signes de Q(0) et P(0), le signe de Q reste inchangé; le signe de P change éventuellement [réflexion par la barrière], mais devient toujours égal à celui de Q dans la limite  $t \to +\infty$ , ce qui traduit le fait que la particule s'écarte de la barrière aux temps longs.

## iv. En inversant la transformation on trouve:

$$\begin{cases}
q = \frac{Q}{\sqrt{m}} \\
p = \sqrt{m}(P - \lambda Q)
\end{cases}$$
(25)

On se limite ici à la discussion du cas E > 0, Q(0) = 0 et P(0) > 0; on dénote par les indices +, - et 0 les cas de figure  $\xi > 0$ ,  $\xi < 0$  et  $\xi = 0$ . Sur la base des résultats ci-dessus pour Q(t) et P(t), avec  $\phi_0 = 0$  et  $\eta_P = +1$ , on trouve alors

$$\begin{cases}
q_{+}(t) = \sqrt{\frac{2E}{m\xi}} \sin\left[\sqrt{\xi}(t-t_{0})\right] \\
p_{+}(t) = \sqrt{2Em} \left\{ \cos\left[\sqrt{\xi}(t-t_{0})\right] - \frac{\lambda}{\sqrt{\xi}} \sin\left[\sqrt{\xi}(t-t_{0})\right] \right\} \\
q_{-}(t) = \sqrt{-\frac{2E}{m\xi}} \sinh\left[\sqrt{-\xi}(t-t_{0})\right] \\
p_{-}(t) = \sqrt{2Em} \left\{ \cosh\left[\sqrt{-\xi}(t-t_{0})\right] - \frac{\lambda}{\sqrt{-\xi}} \sinh\left[\sqrt{-\xi}(t-t_{0})\right] \right\} \\
q_{0}(t) = \sqrt{\frac{2E}{m}} (t-t_{0}) \\
p_{0}(t) = \sqrt{2Em} \left\{ 1 - \lambda(t-t_{0}) \right\}
\end{cases} (26)$$

## f) i. Le potentiel pour Q devient :

$$W(Q) = -\frac{1}{2}\lambda^2 Q^2 \left[ 1 - \frac{Q^4}{Q^4 + \bar{\alpha}^4} \right] \quad , \quad \bar{\alpha} = \alpha \sqrt{m}$$
 (29)

Pour estimer l'apparence on sait que :

$$- W(Q) \le 0$$
$$- W(Q) = W(-Q)$$

$$-W(0) = 0$$

$$-W(\pm \infty) = 0$$

ce qui conduit à :

Il possède un minimum dégénéré  $W(\bar{Q})=W_{\min}$ , et atteint au maximum 0 en  $Q=\{0,\pm\infty\}$ . Les différents régimes sont donc :

- $E < W_{\min}$ : pas possible.
- $W_{\min} < E < 0$ : état lié, le système restera dans un des minimum.
- -0 < E: le système va s'échapper et devenir asymptotiquement libre.
- ii. Il faut commencer par trouver la postion d'équilibre. La dérivée est donnée par :

$$W'(Q) = \frac{\lambda^2 \bar{\alpha}^4 Q}{(Q^4 + \bar{\alpha}^4)^2} (Q^4 - \bar{\alpha}^4)$$
 (30)

et donc:

$$\bar{Q} = \pm \bar{\alpha} \quad , \quad W_{\min} = -\frac{1}{4} \lambda^2 \bar{\alpha}^2$$
 (31)

Pour la fréquence d'oscillation, on a besoin de la deuxième dérivée. On a une dépendance du type :  $W'(Q) = F(Q)(Q^4 - \bar{\alpha}^4)$ ; la deuxième dérivée en  $Q = \bar{\alpha}$  sera donc donnée par  $W''(\bar{\alpha}) = 4F(\bar{\alpha})\bar{\alpha}^3$ :

$$W''(\bar{\alpha}) = \lambda^2 \tag{32}$$

Les oscillations autour de la position d'équilibre sont décrites par  $\tilde{Q}=Q-\bar{Q},\,\tilde{P}=P$  :

$$K(\tilde{P}, \tilde{Q}) = \frac{1}{2}\tilde{P}^2 + \frac{1}{2}\lambda^2\tilde{Q}^2 - \frac{1}{4}\lambda^2\bar{\alpha}^2$$
 (33)

on se retrouve donc dans la même situation qu'en dessus avec les substitutions  $\xi \to \lambda^2$ ,  $E \to E + \frac{1}{4}\lambda^2\bar{\alpha}^2$ , i.e. :

$$\begin{cases}
Q_{\text{osc.}}(t) = \bar{\alpha} + \sqrt{\frac{2E}{\lambda^2} + \frac{1}{2}\bar{\alpha}^2} \sin\left[\lambda(t - t_0)\right] \\
P_{\text{osc.}}(t) = \sqrt{2E + \frac{1}{2}\lambda^2\bar{\alpha}^2} \cos\left[\lambda(t - t_0)\right]
\end{cases} (34)$$

iii. Asymptotiquement le potentiel est nul :

$$W(\pm \infty) = 0 \tag{35}$$

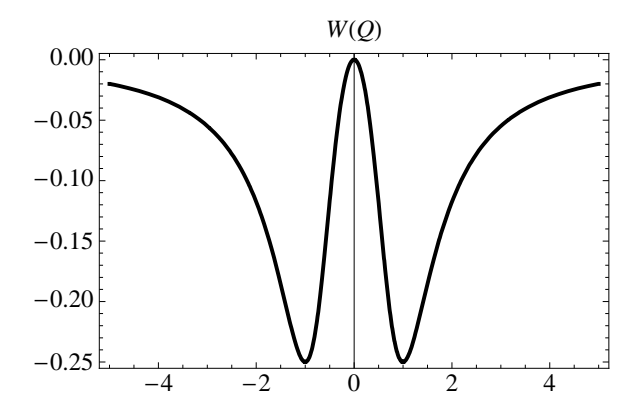


Figure 1 – W(Q) pour  $\lambda = \alpha = 1$ 

On retombe donc dans le troisième cas étudié précédemment :

$$\begin{cases}
Q_{\text{libre}}(t) = \sqrt{2E}(t - t_0) \\
P_{\text{libre}}(t) = \sqrt{2E}
\end{cases}$$
(36)

iv. Dans le cas oscillatoire :

$$\begin{cases}
q_{\text{osc.}}(t) = \alpha + \sqrt{\frac{2E}{\lambda^2 m} + \frac{1}{2}\alpha^2} \sin[\lambda(t - t_0)] \\
p_{\text{osc.}}(t) = -\lambda \alpha m + \sqrt{2Em + \frac{1}{2}\lambda^2 \alpha^2 m^2} \left\{ \cos[\lambda(t - t_0)] - \sin[\lambda(t - t_0)] \right\}
\end{cases}$$
(37)

Dans le cas libre :

$$\begin{cases} q_0(t) = \sqrt{\frac{2E}{m}}(t - t_0) \\ p_0(t) = \sqrt{2Em} \{1 - \lambda(t - t_0)\} \end{cases}$$
 (38)

A noter que les conditions d'applications sont  $Q \to \pm \infty, P \to \mp \infty$ .